Elettromagnetismo

Prof. Francesco Ragusa Università degli Studi di Milano

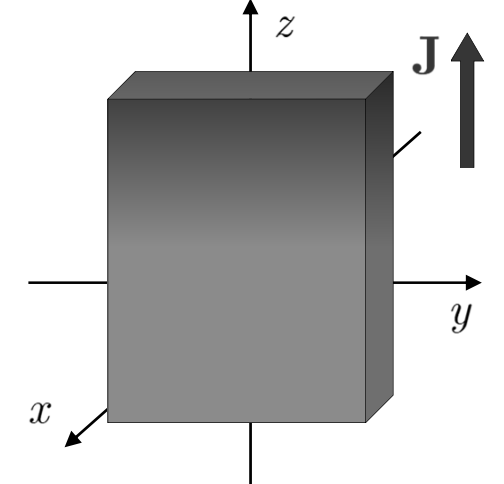
Lezione n. 25 - 16.03.2023

Forza su un dipolo magnetico
Campo di una sfera ruotante
Contrazione di Lorentz, dilatazione dei tempi
Invarianza della carica

Anno Accademico 2022/2023

Campo B di uno strato di corrente

- \bullet Consideriamo un piano infinito di corrente, parallelo al piano $z{-}y$ e che si estende da x=-a a x=+a
 - All'interno del parallelepipedo la densità di corrente è uniforme e vale ${f J}=J_0\hat{f e}_z$



- Calcolare il campo di induzione magnetica B
 - Innanzitutto utilizziamo considerazioni di simmetria per determinare la direzione del campo magnetico
 - ullet La componente B_z è nulla
 - ullet La legge di Biot e Savart dice che ${f B}$ è perpendicolare a ${f J}$
 - ullet La componente B_x è anch'essa nulla
 - Supponiamo sia diversa da zero

$$\mathbf{B}(\mathbf{r}) = \frac{\mu_0}{4\pi} \int_{V}^{\mathbf{J}(\mathbf{r}') \times (\mathbf{r} - \mathbf{r}')} dV'$$

- Il suo senso deve invertirsi se invertiamo J
- ullet Invertire il verso di J è equivalente a ruotare di π intorno all'asse x
 - ullet Pertanto $B_x=0$
- ullet Pertanto l'unica componente non nulla è B_{y}
 - ullet Per la legge di Biot e Savart ${
 m B}$ è nel senso positivo delle y per x>0 e nel senso negativo delle y per x<0
 - ullet Per $x=0
 ightarrow B_y=0$ perché i contributi di J simmetrici in x si elidono

Campo B di uno strato di corrente

Riassumendo

do
$$B_x = B_z = 0 \qquad B_y = \begin{cases} B_y > 0 & x > 0 \\ B_y < 0 & x < 0 \\ B_y = 0 & x = 0 \end{cases}$$

- Per determinare il modulo di B utilizziamo la legge di Ampère
 - ullet Consideriamo la sezione sul piano $x\!-y$
 - La densità di corrente "entra" nel piano
 - Consideriamo il circuito amperiano in figura

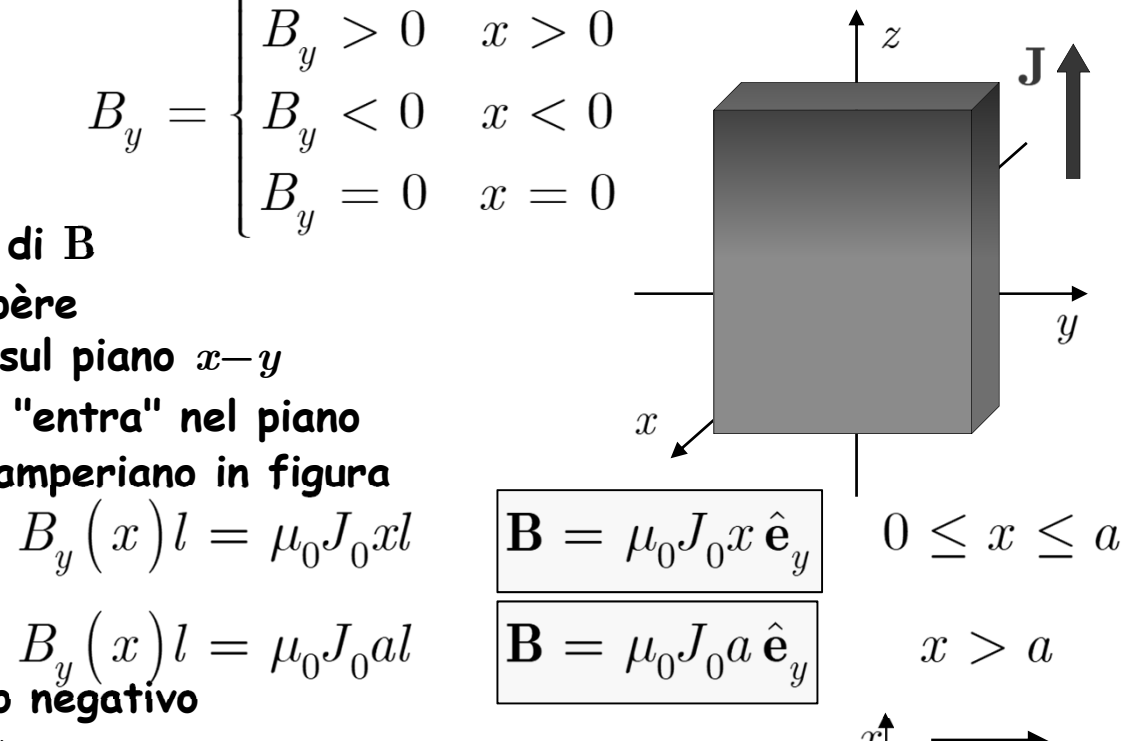
$$\oint_{\Gamma} \mathbf{B} \cdot d\mathbf{l} = \mu_0 \int_{S} \mathbf{J} \cdot d\mathbf{a} \quad B_y(x) l = \mu_0 J_0 x l \qquad \mathbf{B} = \mu_0 J_0 x \hat{\mathbf{e}}_y \quad 0 \le x \le a$$

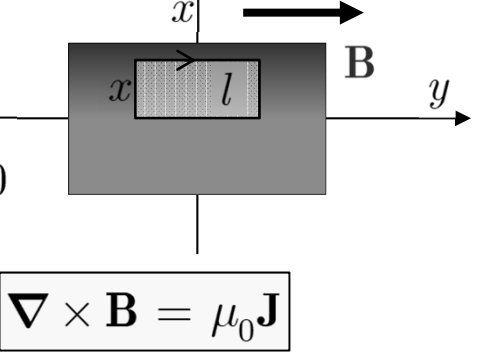
$$B_y(x)l = \mu_0 J_0 al$$

- ullet Per $x < 0~\mathrm{B}$ ha un segno negativo
- ullet Calcoliamo il rotore per |x| < a
 - Altrove è nullo

$$(\mathbf{\nabla} \times \mathbf{B})_x = \frac{\partial B_z}{\partial y} - \frac{\partial B_y}{\partial z} = 0 \quad (\mathbf{\nabla} \times \mathbf{B})_y = \frac{\partial B_x}{\partial z} - \frac{\partial B_z}{\partial x} = 0$$

$$(\mathbf{\nabla} \times \mathbf{B})_z = \frac{\partial B_y}{\partial x} - \frac{\partial B_x}{\partial y} = \mu_0 J_0$$

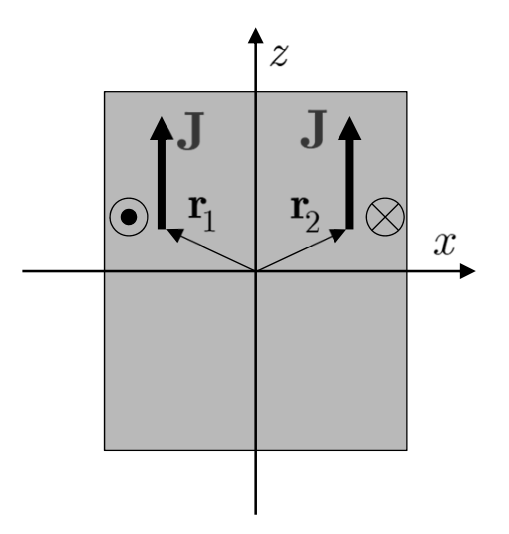




Campo B di uno strato di corrente

\bullet Componente y

- ullet Per la componente y è possibile distinguere i due elementi di densità di corrente (rossi) sulla base del verso del prodotto vettoriale
- ullet La rotazione di π intorno all'asse y è distinguibile dalla inversione del verso di ${f J}$
- Questo è vero perché la posizione x=0 è fissata dal fatto che la densità di corrente è limitata lungo la direzione x
- ullet La situazione era diversa per rotazioni intorno all'asse x



Forza sul dipolo magnetico

- L'esercizio precedente ci fornisce l'esempio di un campo di induzione magnetica B non uniforme
 - ullet Il campo B non è uniforme per |x| < a



- Consideriamo un dipolo magnetico posto $\mathbf{m} = m_0 \,\hat{\mathbf{e}}_r$ nell'origine e diretto lungo x
- La forza sul dipolo è

$$\mathbf{F} = \mathbf{\nabla} (\mathbf{m} \cdot \mathbf{B}) \qquad \mathbf{m} \cdot \mathbf{B} = 0 \qquad \mathbf{F} = 0$$

$$\mathbf{m} \cdot \mathbf{B} = 0$$

$$\mathbf{F} = 0$$



 $\left|\mathbf{B} = J_0 x \,\hat{\mathbf{e}}_y\right|$

Se la formula della forza fosse quella del dipolo elettrico

$$\mathbf{F} = (\mathbf{m} \cdot \mathbf{\nabla})\mathbf{B}$$

$$\mathbf{F} = \left(\mathbf{m}\cdot\mathbf{
abla}
ight)\mathbf{B}$$
 $\mathbf{F} = m_{_{\!0}}rac{\partial}{\partial x}\mathbf{B}$ $\mathbf{F} = \mu_{_{\!0}}m_{_{\!0}}J_{_{\!0}}\hat{\mathbf{e}}_{_y}$ sbagliato

- ullet La forza per un dipolo magnetico nell'origine e diretto lungo $oldsymbol{y} = oldsymbol{m} = m_{\scriptscriptstyle \Omega} \hat{f e}_{\scriptscriptstyle M}$
- La forza sul dipolo magnetico è

$$\mathbf{F} = \mathbf{\nabla} (\mathbf{m} \cdot \mathbf{B}) \qquad \mathbf{m} \cdot \mathbf{B} = \mu_0 m_0 J_0 x \quad \mathbf{F} = \mathbf{\nabla} (\mu_0 m_0 J_0 x) = \mu_0 m_0 J_0 \hat{\mathbf{e}}_x$$

Se la legge della forza fosse quella del dipolo elettrico

$$\mathbf{F} = (\mathbf{m} \cdot \mathbf{\nabla})\mathbf{B}$$

$$\mathbf{F} = \left(\mathbf{m} \cdot \mathbf{\nabla}\right) \mathbf{B}$$
 $\mathbf{F} = m_0 \frac{\partial}{\partial y} \mathbf{B}$ $\mathbf{F} = 0$ sbagliato

$$\mathbf{F} = 0$$

Forza sul dipolo magnetico

- Cerchiamo di comprendere meglio in cosa le due formule sono differenti
 - Troviamo una relazione fra le due formule

$$\mathbf{\nabla} (\mathbf{m} \cdot \mathbf{B}) \qquad (\mathbf{m} \cdot \mathbf{\nabla}) \mathbf{B}$$

• Utilizziamo la relazione della diapositiva 55

$$\mathbf{\nabla}(\mathbf{A}\cdot\mathbf{B}) = \mathbf{A}\times(\mathbf{\nabla}\times\mathbf{B}) + \mathbf{B}\times(\mathbf{\nabla}\times\mathbf{A}) + (\mathbf{A}\cdot\mathbf{\nabla})\mathbf{B} + (\mathbf{B}\cdot\mathbf{\nabla})\mathbf{A}$$

Otteniamo

$$\mathbf{\nabla} (\mathbf{m} \cdot \mathbf{B}) = \mathbf{m} \times (\mathbf{\nabla} \times \mathbf{B}) + \mathbf{B} \times (\mathbf{\nabla} \times \mathbf{m}) + (\mathbf{m} \cdot \mathbf{\nabla}) \mathbf{B} + (\mathbf{B} \times \mathbf{\nabla}) \mathbf{m}$$

- Il secondo e il quarto termine sono nulli
 - Il momento di dipolo m è indipendente dalla posizione

$$oldsymbol{
abla}ig(\,\mathbf{m}\cdot\mathbf{B}\,ig)=\,\mathbf{m} imesig(\,oldsymbol{
abla} imes\mathbf{B}\,ig)+ig(\,\mathbf{m}\cdotoldsymbol{
abla}\,ig)\,\mathbf{B}$$

- ullet Ma $abla imes \mathrm{B} = \mu_0 \mathrm{J}$
- $oldsymbol{
 abla}oldsymbol{(\mathbf{m}\cdot\mathbf{B})} = \mu_0\mathbf{m} imes\mathbf{J} + ig(\mathbf{m}\cdotoldsymbol{
 abla}ig)\mathbf{B}$
- \bullet Osserviamo che in elettrostatica le due formule danno lo stesso risultato perché abla imes E = 0

Forza sul dipolo magnetico

$$\mathbf{\nabla}(\mathbf{m} \cdot \mathbf{B}) = \mu_0 \mathbf{m} \times \mathbf{J} + (\mathbf{m} \cdot \mathbf{\nabla}) \mathbf{B}$$

- Per finire verifichiamo che il termine aggiuntivo ripristina il risultato corretto
 - ullet Nella regione |x| < a la densità di corrente e il campo magnetico sono

$$\mathbf{J} = J_0 \hat{\mathbf{e}}_z \qquad \mathbf{B} = \mu_0 J_0 x \, \hat{\mathbf{e}}_y$$

- ullet Consideriamo il caso $\mathbf{m}=m_0\hat{\mathbf{e}}_x$
 - Il risultato della formula sbagliata era

$$\mathbf{F} = (\mathbf{m} \cdot \mathbf{\nabla}) \mathbf{B} = \mu_0 m_0 J_0 \hat{\mathbf{e}}_y \quad \mu_0 \mathbf{m} \times \mathbf{J} = \mu_0 m_0 J_0 \hat{\mathbf{e}}_x \times \hat{\mathbf{e}}_z = -\mu_0 m_0 J_0 \hat{\mathbf{e}}_y$$
$$\mu_0 \mathbf{m} \times \mathbf{J} + (\mathbf{m} \cdot \mathbf{\nabla}) \mathbf{B} = -\mu_0 m_0 J_0 \hat{\mathbf{e}}_y + \mu_0 m_0 J_0 \hat{\mathbf{e}}_y = 0$$

- ullet Infine il caso $\mathbf{m}=m_0\hat{\mathbf{e}}_y$
 - Il risultato della formula sbagliata era

$$\mathbf{F} = (\mathbf{m} \cdot \mathbf{\nabla}) \mathbf{B} = 0 \quad \mu_0 \mathbf{m} \times \mathbf{J} = \mu_0 m_0 J_0 \hat{\mathbf{e}}_y \times \hat{\mathbf{e}}_z = \mu_0 m_0 J_0 \hat{\mathbf{e}}_x$$
$$\mu_0 \mathbf{m} \times \mathbf{J} + (\mathbf{m} \cdot \mathbf{\nabla}) \mathbf{B} = \mu_0 m_0 J_0 \hat{\mathbf{e}}_x + 0 = \mu_0 m_0 J_0 \hat{\mathbf{e}}_x$$

- ullet Consideriamo un guscio sferico di carica di raggio R
 - ullet La densità di carica è uniforme e pari a σ
 - ullet Il guscio ruota con velocita angolare costante Ω intorno ad un asse
- La densità di corrente superficiale K è

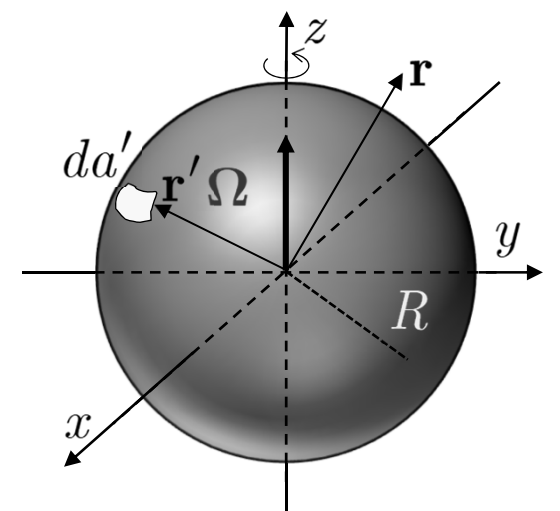
$$\mathbf{K}(\mathbf{r}') = \sigma \mathbf{v} = \sigma \mathbf{\Omega} \times \mathbf{r}' \qquad \qquad \mathbf{v}(\mathbf{r}') = \mathbf{\Omega} \times \mathbf{r}'$$

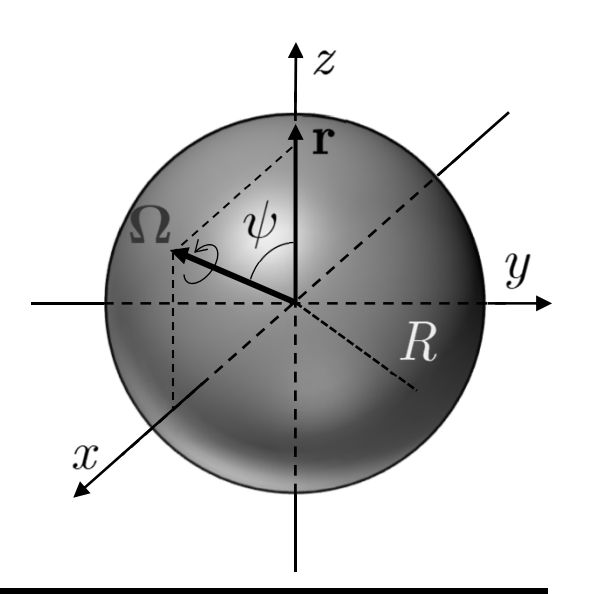
$$\mathbf{v}(\mathbf{r}') = \mathbf{\Omega} \times \mathbf{r}'$$

• Per un punto sulla superficie individuato con il vettore \mathbf{r}' , il potenziale vettore in \mathbf{r} è dato da

$$\mathbf{A}(\mathbf{r}) = \frac{\mu_0}{4\pi} \int_{S} \frac{\mathbf{K}(\mathbf{r}')}{|\mathbf{r} - \mathbf{r}'|} da'$$

- Il problema è risolto semplicemente calcolando l'integrale
 - L'integrale non è semplice
- Il problema risulta enormemente semplificato da una opportuna scelta di sistema di riferimento
 - ullet Scegliere l'asse z nella direzione di ${f r}$
 - Il vettore Ω giace nel piano x-z
 - ullet Forma un angolo ψ con l'asse z





- Scriviamo i vettori del problema in questo sistema
 - Il vettore Ω $\Omega = \omega (\sin \psi \hat{\mathbf{e}}_x + \cos \psi \hat{\mathbf{e}}_z)$
 - La variabile di integrazione \mathbf{r}' e il vettore \mathbf{r} $\mathbf{r}' = R(\sin\theta'\cos\phi'\hat{\mathbf{e}}_x + \sin\theta'\sin\phi'\hat{\mathbf{e}}_y + \cos\theta'\hat{\mathbf{e}}_z)$
 - ullet II modulo del vettore ${f r}-{f r}'$ è

$$\left|\mathbf{r} - \mathbf{r}'\right| = \left[r^2 + r'^2 - 2\mathbf{r} \cdot \mathbf{r}'\right]^{\frac{1}{2}} = \left[r^2 + R^2 - 2rR\cos\theta'\right]^{\frac{1}{2}}$$

ullet La velocità di un elemento di carica in ${f r}'$ è

$$\mathbf{v}(\mathbf{r}') = \mathbf{\Omega} \times \mathbf{r}' = R \begin{vmatrix} \hat{\mathbf{e}}_x & \hat{\mathbf{e}}_y & \hat{\mathbf{e}}_z \\ \omega \sin \psi & 0 & \omega \cos \psi \\ \sin \theta' \cos \phi' & \sin \theta' \sin \phi' & \cos \theta' \end{vmatrix}$$

$$= R\omega \begin{vmatrix} -\hat{\mathbf{e}}_x \cos \psi \sin \theta' \sin \phi' \\ +\hat{\mathbf{e}}_y (\cos \psi \sin \theta' \cos \phi' - \sin \psi \cos \theta') \\ +\hat{\mathbf{e}}_z \cos \psi \sin \theta' \cos \phi' \end{vmatrix}$$
• Calcoliamo $\mathbf{A}(\mathbf{r})$

$$\mathbf{A}(\mathbf{r}) = \frac{\mu_0}{4\pi} \int_{\sigma} \frac{\mathbf{K}(\mathbf{r}')}{|\mathbf{r} - \mathbf{r}'|} da' = \frac{\mu_0}{4\pi} \int_{\sigma} \frac{\sigma \mathbf{\Omega} \times \mathbf{r}'}{|\mathbf{r} - \mathbf{r}'|} R^2 d\phi' \sin \theta' d\theta'$$

 $\mathbf{r} = r\hat{\mathbf{e}}$

$$\mathbf{A}(\mathbf{r}) = \frac{\mu_0}{4\pi} \int_{S} \frac{\mathbf{K}(\mathbf{r}')}{|\mathbf{r} - \mathbf{r}'|} da' = \frac{\mu_0}{4\pi} \int_{0}^{\pi} \int_{0}^{2\pi} \frac{\sigma \mathbf{\Omega} \times \mathbf{r}'}{|\mathbf{r} - \mathbf{r}'|} R^2 d\phi' \sin \theta' d\theta'$$

- Abbiamo utilizzato l'elemento di superficie da' in coordinate sferiche relativo al vettore posizione ${\bf r}'$ $da'=R^2d\phi'\sin\theta'd\theta'$
 - Osservazioni
 - Il denominatore $|\mathbf{r} \mathbf{r'}|$ dipende solo dalla $|\mathbf{r} \mathbf{r'}| = \left[r^2 + R^2 2rR\cos\theta'\right]^{\frac{1}{2}}$ variabile di integrazione θ' , non da ϕ'
 - ullet La dipendenza da ϕ' è limitata al numeratore

$$\sigma \mathbf{\Omega} \times \mathbf{r}' = \sigma R \omega \begin{bmatrix} -\hat{\mathbf{e}}_x \cos \psi \sin \theta' \sin \phi' \\ +\hat{\mathbf{e}}_y (\cos \psi \sin \theta' \cos \phi' - \sin \psi \cos \theta') \\ +\hat{\mathbf{e}}_z \cos \psi \sin \theta' \cos \phi' \end{bmatrix}$$

 \bullet Poiché l'integrazione su ϕ' va da 0 a 2π , tutti gli integrali delle funzioni trigonometriche di ϕ' si annullano

$$\mathbf{A}(r,\theta) = \frac{\mu_0}{4\pi} \int_0^\pi \int_0^{\pi} \frac{-\sigma R \omega \sin \psi \cos \theta' \hat{\mathbf{e}}_y}{\left[r^2 + R^2 - 2rR \cos \theta'\right]^{\frac{1}{2}}} R^2 d\phi' \sin \theta' d\theta'$$

$$\mathbf{A}(r,\theta) = \frac{\mu_0}{4\pi} \int_0^{\pi} \int_0^{2\pi} \frac{-\sigma R \omega \sin \psi \cos \theta' \hat{\mathbf{e}}_y}{\left[r^2 + R^2 - 2rR \cos \theta'\right]^{\frac{1}{2}}} R^2 d\phi' \sin \theta' d\theta'$$

$$\textbf{Posto} \; \cos \theta' = x \\ \mathbf{A}(r,\theta) = \frac{\mu_0}{2} \, \sigma R^3 \omega \sin \psi \hat{\mathbf{e}}_y \int_{1}^{-1} \frac{x dx}{\left[r^2 + R^2 - 2rRx \, \right]^{\frac{1}{2}} }$$

• Si verifica facilmente

$$z = a + bx$$

$$\int \frac{xdc}{\sqrt{z}} = \left(\frac{z}{3} - a\right) \frac{2\sqrt{z}}{b^2}$$

$$\int_{-1}^{+1} \frac{x dx}{\left[r^2 + R^2 - 2rRx\right]^{\frac{1}{2}}} = -\frac{R^2 + r^2 + Rrx}{3R^2r^2} \sqrt{R^2 + r^2 - 2Rrx} \Big|_{-1}^{+1}$$
$$= -\frac{1}{3R^2r^2} \left[(R^2 + r^2 + Rr) |R - r| - (R^2 + r^2 - Rr)(R + r) \right]$$

- Notare l'inversione dell'ordine di integrazione
- ullet Notare inoltre l'apparizione del modulo |R-r| nella valutazione della primitiva per x=+1
 - Differenzia la soluzione all'interno e all'esterno della sfera

- Specializziamo il risultato nelle due regioni
 - ullet All'interno della sfera r < R

$$-\frac{1}{3R^2r^2} \Big[(R^2 + r^2 + Rr) \Big| R - r \Big| - (R^2 + r^2 - Rr)(R + r) \Big]$$

$$= -\frac{1}{3R^2r^2} \Big[(R^2 + r^2 + Rr)(R - r) - (R^2 + r^2 - Rr)(R + r) \Big] = \frac{2r}{3R^2}$$

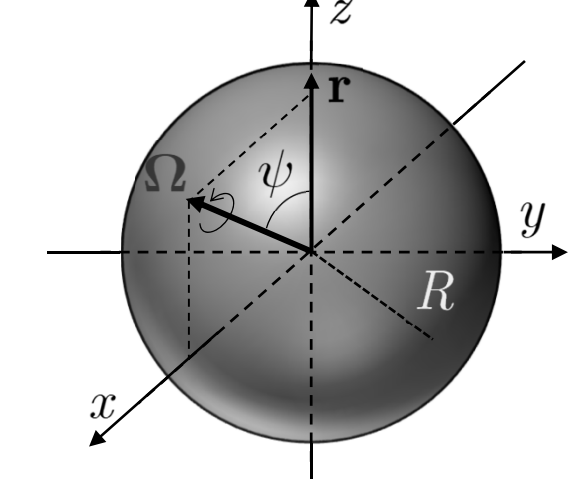
ullet All'esterno della sfera r>R

$$=-\frac{1}{3R^2r^2}\big[(R^2+r^2+Rr)(r-R)-(R^2+r^2-Rr)(R+r)\big]=\frac{2R}{3r^2}$$

ullet Ricordiamo l'espressione per A(r)

$$\mathbf{A}(r,\theta) = -\frac{\mu_0}{2} \sigma R^3 \omega \sin \psi \hat{\mathbf{e}}_y \int_{-1}^{+1} \frac{x dx}{\left[r^2 + R^2 - 2rRx\right]^{\frac{1}{2}}} = \begin{cases} -\frac{\mu_0}{3} \sigma R r \omega \sin \psi \hat{\mathbf{e}}_y & r < R \\ -\frac{\mu_0}{3} \sigma \frac{R^4}{r^2} \omega \sin \psi \hat{\mathbf{e}}_y & r > R \end{cases}$$

$$\mathbf{A}(r,\theta) = \begin{cases} -\frac{\mu_0}{3} \sigma R r \omega \sin \psi \hat{\mathbf{e}}_y & r < R \\ -\frac{\mu_0}{3} \sigma \frac{R^4}{r^2} \omega \sin \psi \hat{\mathbf{e}}_y & r > R \end{cases}$$



- Rimane ancora un aspetto da elaborare
 - Notiamo che
 - $ullet \psi$ è l'angolo fra ${f r}$ e Ω
 - \bullet Il potenziale vettore è perpendicolare al piano su cui giacciono Ω e r
 - Abbiamo pertanto

$$r\omega\sin\psi\hat{\mathbf{e}}_{_{y}}=-\mathbf{\Omega}\times\mathbf{r}$$

Indipendente dal sistema di coordinate usato

• Inserendo nella formula

$$\mathbf{A}(r,\theta) = \begin{cases} \frac{\mu_0}{3} \, \sigma R \mathbf{\Omega} \times \mathbf{r} & r < R & \text{Da confrontare con il potenziale di un dipolo magnetico } \mathbf{m} \text{ (diap. } \underline{\mathbf{106}} \text{)} \\ \frac{\mu_0}{3} \, \sigma \frac{R^4}{r^3} \, \mathbf{\Omega} \times \mathbf{r} & r > R & \mathbf{A} \Big(\mathbf{r} \Big) = \frac{\mu_0}{4\pi} \mathbf{m} \times \frac{\mathbf{r}}{r^3} & \mathbf{m} = \frac{QR^2}{3} \mathbf{\Omega} \end{cases}$$

• Ritornando al sistema di riferimento in cui Ω è parallelo all'asse z

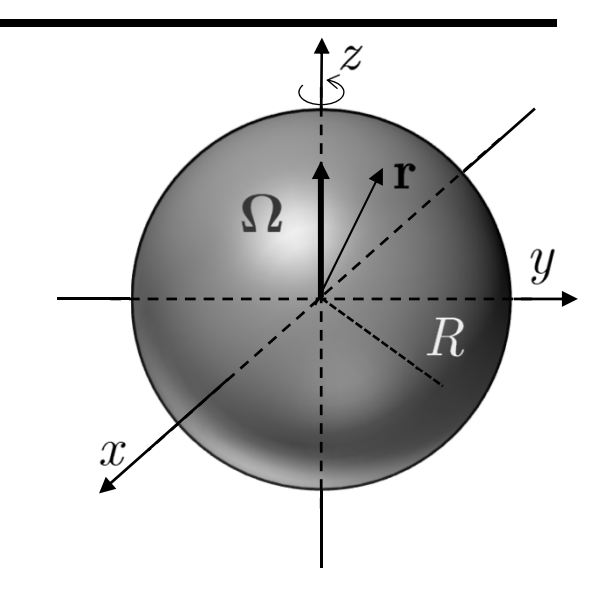
$$\mathbf{\Omega} = \omega \,\hat{\mathbf{e}}_{z}$$

$$\mathbf{\Omega} = \omega \,\hat{\mathbf{e}}_{z} \qquad \hat{\mathbf{e}}_{z} = \cos\theta \hat{\mathbf{e}}_{r} - \sin\theta \,\hat{\mathbf{e}}_{\theta}$$

$$\mathbf{r} = r \,\hat{\mathbf{e}}_r$$

$$\mathbf{r} = r \,\hat{\mathbf{e}}_{r} \qquad \mathbf{\Omega} \times \mathbf{r} = \omega r \sin \theta \,\hat{\mathbf{e}}_{\phi}$$

$$\mathbf{A}(r, heta) = egin{cases} rac{\mu_0}{3} \sigma \omega R r \sin heta \hat{\mathbf{e}}_{\phi} & r < R \ rac{\mu_0}{3} \sigma \omega rac{R^4}{r^2} \sin heta \hat{\mathbf{e}}_{\phi} & r > R \end{cases}$$



- ullet Per r>R abbiamo un potenziale di dipolo magnetico
- Calcoliamo il campo all'interno della sfera

$$\boldsymbol{\nabla}\times\mathbf{A} = \frac{1}{r\sin\theta}\bigg[\frac{\partial}{\partial\theta}\big(\sin\theta A_{\!_{\boldsymbol{\phi}}}\big) - \frac{\partial A_{\!_{\boldsymbol{\theta}}}}{\partial\phi}\bigg]\hat{\mathbf{e}}_{r} + \frac{1}{r}\bigg[\frac{1}{\sin\theta}\frac{\partial A_{\!_{\boldsymbol{r}}}}{\partial\phi} - \frac{\partial}{\partial\boldsymbol{r}}\big(\boldsymbol{r}A_{\!_{\boldsymbol{\phi}}}\big)\bigg]\hat{\mathbf{e}}_{\boldsymbol{\theta}} + \frac{1}{r}\bigg[\frac{\partial}{\partial\boldsymbol{r}}\bigg(\boldsymbol{r}A_{\!_{\boldsymbol{\theta}}} - \frac{\partial A_{\!_{\boldsymbol{r}}}}{\partial\theta}\bigg)\bigg]\hat{\mathbf{e}}_{\boldsymbol{\phi}}$$

$$B_r = \frac{1}{r\sin\theta}\frac{\partial}{\partial\theta} \Big(\sin\theta A_{\!\scriptscriptstyle\phi}\,\Big) = \frac{\mu_{\!\scriptscriptstyle 0}}{3}\sigma\omega Rr \frac{1}{r\sin\theta}\frac{\partial}{\partial\theta} \Big(\sin\theta\sin\theta\,\Big) = \frac{2\mu_{\!\scriptscriptstyle 0}}{3}\sigma\omega R\cos\theta$$

$$\boldsymbol{\nabla}\times\mathbf{A} = \frac{1}{r\sin\theta}\bigg[\frac{\partial}{\partial\theta}\big(\sin\theta A_{\!_{\boldsymbol{\phi}}}\big) - \frac{\partial A_{\!_{\boldsymbol{\theta}}}}{\partial\phi}\bigg]\hat{\mathbf{e}}_{\!_{\boldsymbol{r}}} + \frac{1}{r}\bigg[\frac{1}{\sin\theta}\frac{\partial A_{\!_{\boldsymbol{r}}}}{\partial\phi} - \frac{\partial}{\partial\boldsymbol{r}}\big(\boldsymbol{r}A_{\!_{\boldsymbol{\phi}}}\big)\bigg]\hat{\mathbf{e}}_{\!_{\boldsymbol{\theta}}} + \frac{1}{r}\bigg[\frac{\partial}{\partial\boldsymbol{r}}\bigg(\boldsymbol{r}A_{\!_{\boldsymbol{\theta}}} - \frac{\partial A_{\!_{\boldsymbol{r}}}}{\partial\theta}\bigg)\bigg]\hat{\mathbf{e}}_{\!_{\boldsymbol{\phi}}}$$

ullet Calcoliamo la componente heta

$$B_{ heta} = -rac{1}{r}rac{\partial}{\partial r}ig(rA_{\phi}ig) = -rac{1}{r}rac{\partial}{\partial r}igg(rrac{\mu_0}{3}\sigma\omega Rr\sin hetaigg) = -rac{2\mu_0}{3}\sigma\omega R\sin heta$$

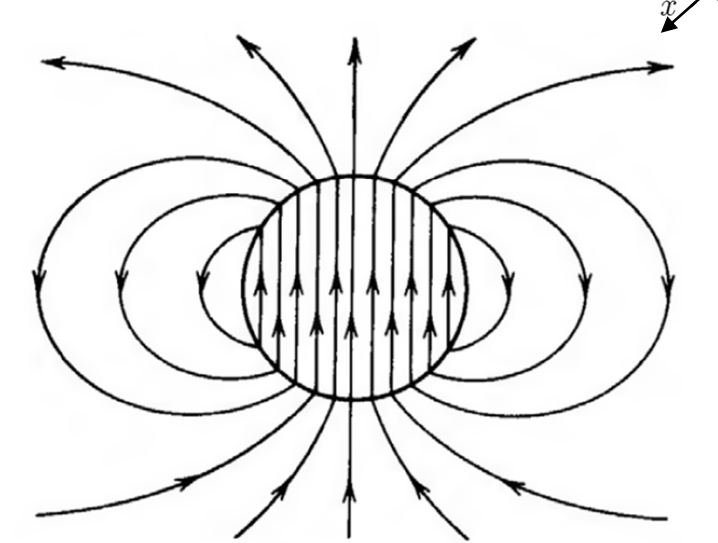
• In definitiva

$$\mathbf{B} = B_r \hat{\mathbf{e}}_r + B_\theta \hat{\mathbf{e}}_\theta = \frac{2\mu_0}{3} \sigma \omega R \cos \theta \hat{\mathbf{e}}_r - \frac{2\mu_0}{3} \sigma \omega R \sin \theta \hat{\mathbf{e}}_\theta$$

$$= \frac{2\mu_0}{3} \sigma \omega R (\cos \theta \hat{\mathbf{e}}_r - \sin \theta \hat{\mathbf{e}}_\theta)$$

$$\mathbf{B} = \frac{2\mu_0}{3}\sigma\omega R\hat{\mathbf{e}}_z$$

- All'esterno un campo di dipolo
- All'interno un campo uniforme



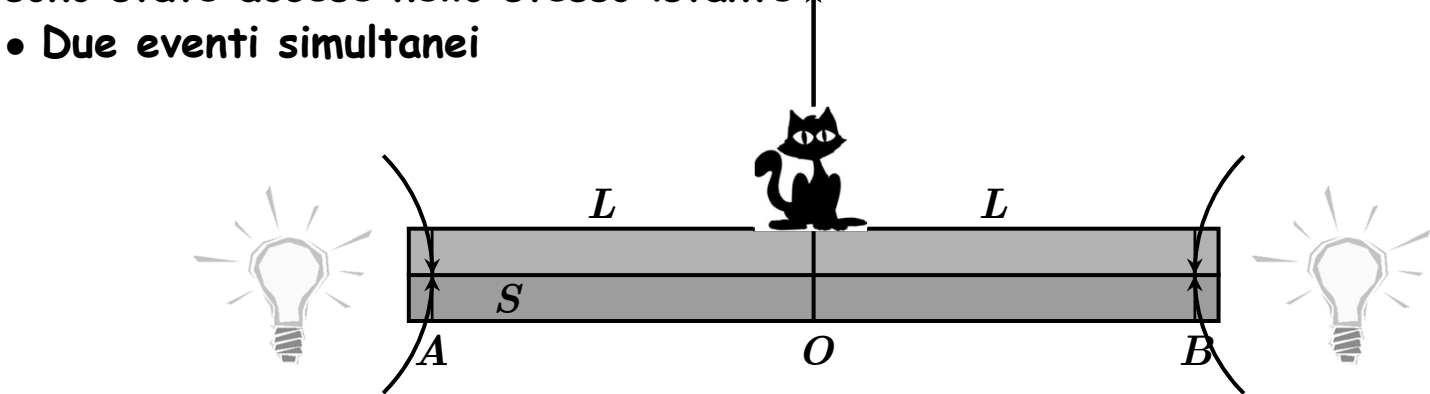
La Teoria della Relatività

- Einstein ipotizzò che la Relatività Galileiana non fosse adeguata per i fenomeni elettromagnetici
- Assunse pertanto i seguenti due postulati:
 - Tutte le leggi della fisica sono le stesse in tutti i sistemi inerziali. Non esiste un sistema di riferimento privilegiato
 - Questo postulato è simile a quello Galileiano
 - Einstein lo rafforza assumendo che valga per TUTTE le leggi fisiche
 - Anche le leggi dell'elettromagnetismo
 - Inoltre tutti i sistemi di riferimento inerziali sono equivalenti
 - ullet La velocità della luce nello spazio vuoto ha lo stesso valore c in tutti i sistemi inerziali
 - Questo postulato è in evidente contraddizione con la Relatività Galileiana
- I due precedenti postulati costituiscono l'enunciazione del principio di Relatività Ristretta
 - Colpisce la semplicità dei due postulati
 - Tuttavia le conseguenze modificheranno profondamente la fisica e la stessa visone del mondo



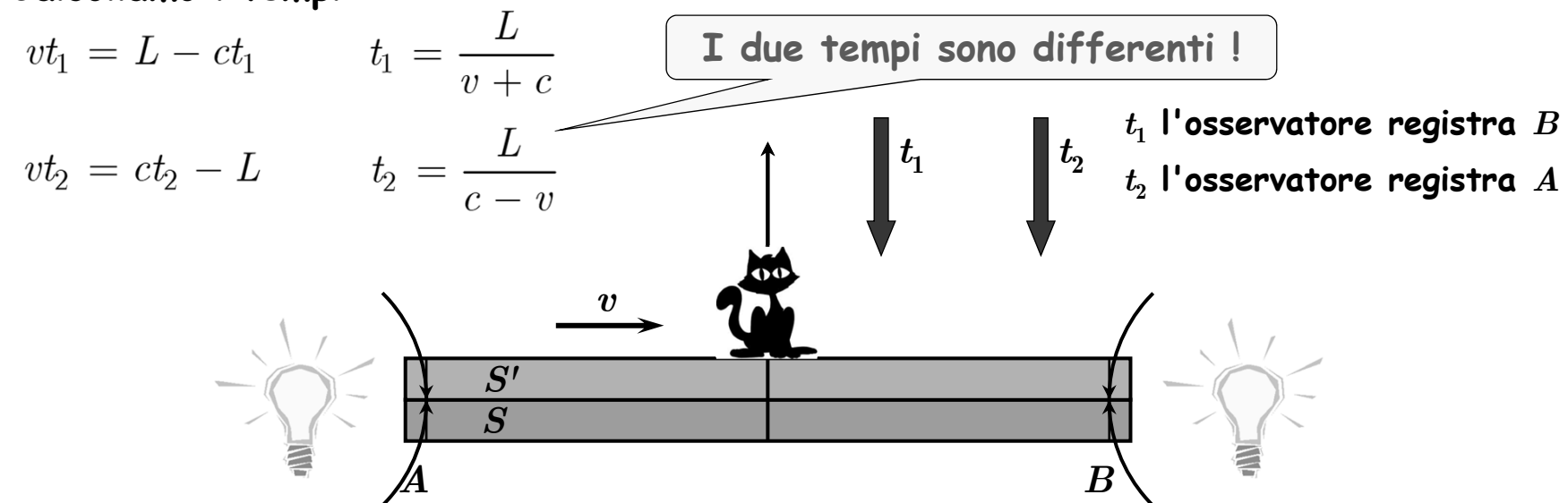
Relatività della simultaneità

- La prima conseguenza dei Principi di Relatività di Einstein è la relatività del concetto di simultaneità
 - La simultaneità non è un concetto assoluto
 - Dipende dallo stato di moto dell'osservatore
- \bullet Consideriamo un sistema di riferimento S e un osservatore ${\cal O},$ a riposo, posto nell'origine e equidistante dai punti A e B
 - Nei due punti sono poste due lampade
 - Le lampade vengono accese e la loro luce viaggia verso l'osservatore
 - ullet La luce impiega lo stesso tempo L/c per raggiungere l'osservatore
- Le due onde raggiungono l'osservatore allo stesso tempo
 - ullet L'osservatore conclude che le lampade, delle quali conosce la distanza da O, sono state accese nello stesso istante ullet



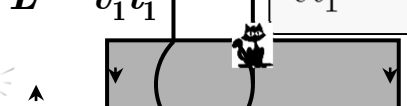
Relatività della simultaneità

- ullet Ripetiamo l'esperimento considerando adesso l'osservatore solidale con il sistema di riferimento S' che si muove con velocità v verso destra
 - ullet L'osservatore vede i due segnali luminosi a due tempi differenti t_1 e t_2
 - ullet L'osservatore vede i due segnali che viaggiano sempre con velocità c (il secondo postulato di Einstein)
 - ullet Infine l'osservatore sa che quando le origini dei due sistemi coincidevano (t=0) le due lampade erano equidistanti
- L'osservatore conclude che i due eventi non sono simultanei
- Calcoliamo i tempi



Relatività della simultaneità

- È necessario notare che l'osservatore calcola i tempi dei due eventi
 - L'osservatore conosce le velocità dei segnali e le posizioni delle sorgenti↑ ↑
- Al tempo t_1
 - ullet L'osservatore ha percorso uno spazio vt_1
 - Il fronte del segnale 1 si trova alla coordinata $L-v_1t_1$ $vt_1=L-v_1t_1$ Al tempo t_2 L'asservatore ha percorsa una spazia vt



- Al tempo t_2
 - ullet L'osservatore ha percorso uno spazio vt_2
 - ullet Il fronte del segnale 2 si trova alla coordinata v_2t_2-L

$$vt_2 = v_2t_2 - L$$

• Se i segnali fossero suoni viaggerebbero con velocità differenti (c la velocità del suono)

$$v_1 = c - v \qquad v_2 = c + v$$

$$vt_1 = L - ct_1 + vt_1$$

$$t_1 = L/c$$

$$vt_1 = L - ct_1 + vt_1$$
 $t_1 = L/c$ $vt_2 = (c+v)t_2 - L$ $t_2 = L/c$

$$|t_2| = L/c$$

ullet Se i segnali sono luce entrambi viaggiano alla stessa velocità c

$$v_1 = c$$
 $v_2 = c$

$$vt_1 = L - ct_1$$

$$t_1 = \frac{L}{v+c}$$

$$vt_2 = ct_2 - L$$

$$t_2 = \frac{L}{c - v}$$

La Teoria della Relatività

- Le considerazioni precedenti mostrano che l'ipotesi che la velocità della luce sia la stessa in tutti i sistemi inerziali ha delle conseguenze profonde
 - Due eventi simultanei in un sistema di riferimento non lo sono più in un altro sistema inerziale che si muove rispetto al primo
- ullet Un evento viene individuato da 4 numeri x=(t,r)
 - La simultaneità di due eventi x_1 e x_2 significa $t_1=t_2$
 - Nel sistema S' i due eventi x_1' e x_2' non sono più simultanei significa che $t_1' \neq t_2'$
- Il tempo non è più assoluto come nella Relatività Galileiana
 - Dobbiamo trovare le leggi di trasformazione per passare da un sistema di riferimento all'altro
- Dobbiamo inoltre fare attenzione al fatto che la velocità della luce è finita
 - La trasmissione dei segnali non è istantanea
 - Nella definizione di simultaneità abbiamo tenuto conto del ritardo dei segnali
- In particolare la sincronizzazione di due orologi
 - Due orologi sono sincronizzati se sono nello stesso luogo e indicano lo stesso tempo
 - Se non sono nello stesso punto dello spazio bisogna utilizzare una procedura adeguata

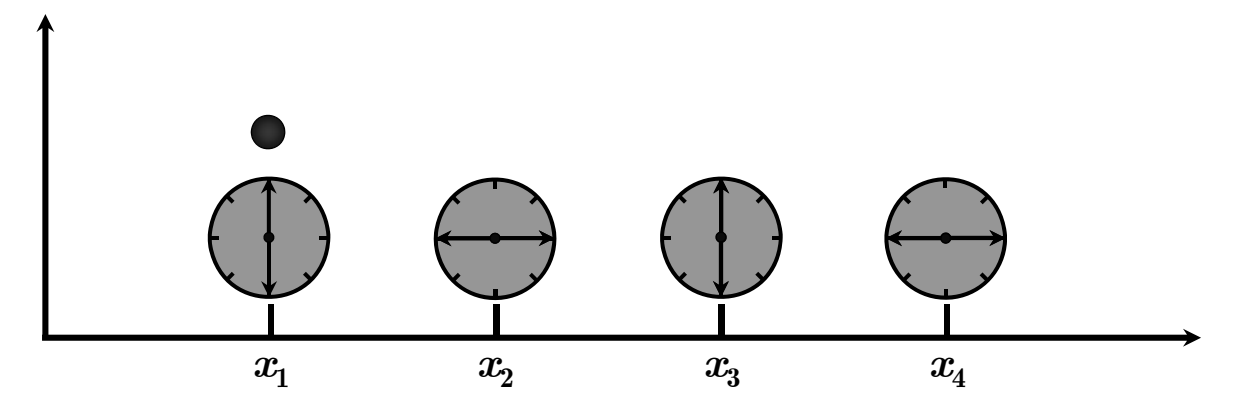


Sincronizzazione degli orologi

- Consideriamo un sistema di riferimento
 - ullet Immaginiamo che ci sia un orologio in ogni posizione $x_1,\ x_2\ ,\ x_3,\ x_4\ \dots$
- Per sincronizzare gli orologi utilizziamo un segnale luminoso
 - La luce ha la stessa velocità in ogni sistema inerziale
 - È il modo più veloce per trasmettere informazione
- \bullet Occorre tenere conto del ritardo dovuto al tempo necessario perché il segnale luminoso passi da x_i a x_{i+1}

$$\Delta t = \frac{x_{i+1} - x_i}{c}$$

- Quando facciamo partire il primo orologio inviamo un segnale luminoso agli altri orologi
 - Gli altri orologi partono (con opportuno ritardo) quando ricevono il segnale



- ullet Consideriamo due sistemi di riferimento inerziali S e S'
 - ullet Nel sistema S un evento è descritto dalle coordinate $(x,\,y,\,z,\,t\,)$
 - Nel sistema S' lo stesso evento è descritto dalle coordinate (x', y', z', t')
- Innanzitutto la relazione fra i due gruppi di coordinate deve essere lineare
 - Se non fosse lineare lo spazio non sarebbe omogeneo
 - Ad esempio la lunghezza di un segmento dipenderebbe dalla sua posizione
- La trasformazione è pertanto
- Nel caso in considerazione gli assi x e x' coincidono sempre
 - ullet Un punto sull'asse x (y=0 e z=0) si $z'=a_{31}x+a_{32}y+a_{33}z+a_{34}t \iff t'=a_{41}x+a_{42}y+a_{43}z+a_{44}t$
 - ullet y' e z' non possono dipendere da x o da t

$$y' = a_{21}x + a_{22}y + a_{23}z + a_{24}t \implies y' = a_{22}y + a_{23}z$$

 $z' = a_{31}x + a_{32}y + a_{33}z + a_{34}t \implies z' = a_{32}y + a_{33}z$

- Il piano z=0 si trasforma nel piano z'=0 $a_{32}=0 \rightarrow z'=a_{33}z$
- Analogamente il piano y=0 o y'=0

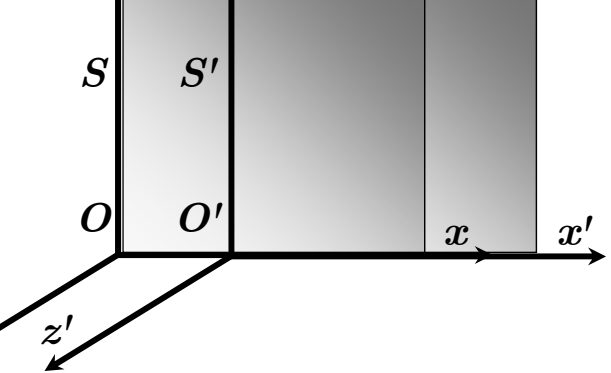
$$a_{23} = 0 \rightarrow y' = a_{22}y$$

$$x' = a_{11}x + a_{12}y + a_{13}z + a_{14}t$$

$$y' = a_{21}x + a_{22}y + a_{23}z + a_{24}t \iff$$

$$z' = a_{31}x + a_{32}y + a_{33}z + a_{34}t \iff$$

$$t' = a_{41}x + a_{42}y + a_{43}z + a_{44}t$$



- ullet I coefficienti a_{22} e a_{33} possono essere determinati utilizzando il principio di relatività _____
- Consideriamo la prima equazione
 - Supponiamo che nel sistema S ci sia un'asta lunga $1\ \mathrm{m}$ posta parallela all'asse y nel punto x=0 e z=0
 - \bullet Nel sistema S' l'osservatore vede l'asta lunga $L'=a_{22} \times \! 1 = a_{22}$



- ullet L'osservatore in S' adesso misura l'asta (a riposo) e ottiene $1~\mathrm{m}$
- ullet Per l'osservatore in S la legge di trasformazione \dot{ullet}
 - ullet Per S pertanto l'asta è lunga $L=1/a_{22} imes 1=1/a_{22}$

$$y = \frac{1}{a_{22}}y'$$

- Per il primo postulato di Einstein le due condizioni devono essere equivalenti
 - Altrimenti si potrebbero distinguere i due sistemi
 - ullet Le due lunghezze devono essere le stesse $L=L' o a_{22}=1/a_{22}$
- Pertanto

$$a_{22} = 1 \rightarrow y' = y$$

e analogamente

$$a_{33} = 1 \rightarrow z' = z$$

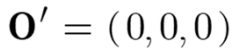
y'

O'

- Veniamo adesso alle altre due equazioni
- ullet Visto nel sistema S l'origine O' di S' si muove di moto rettilineo uniforme
 - Dato l'orientamento degli assi il punto 0' è dato da

$$\mathbf{O}' = (vt, 0, 0)$$

• Nel sistema S' l'origine è a riposo ed è data da



• Ricordiamo che per la coordinata x' si ha $x' = a_{11}x + a_{12}y + a_{13}z + a_{14}t$

$$x' = a_{11}x + a_{12}y + a_{13}z + a_{14}t$$

- Imponiamo la corrispondenza $x = vt \rightarrow x' = 0$ $0 = a_{11}vt + a_{12}v + a_{13}z + a_{14}t$
- \bullet Questa relazione deve essere valida per arbitrari $y_{\bullet}z_{\bullet}$ Pertanto

$$a_{12} = 0$$
 $a_{13} = 0$ $a_{11}vt + a_{14}t = 0$ $a_{11}v + a_{14} = 0$ $a_{14} = -a_{11}v$ $x' = a_{11}x - a_{11}vt$

• Per la trasformazione del tempo

$$t' = a_{41}x + a_{42}y + a_{43}z + a_{44}t$$

- ullet Per l'isotropia dello spazio non può dipendere da y o da z
 - In caso contrario orologi disposti a y o a -y (simmetricamente rispetto all'asse x) misurerebbero tempi diversi

$$a_{42} = 0$$
 $a_{43} = 0$ $t' = a_{41}x + a_{44}t$

- La nostra trasformazione si è pertanto ridotta a
 - ullet Dobbiamo trovare i 3 coefficienti $a_{11},\,a_{41},\,a_{44}$
- Per trovarli utilizziamo il secondo postulato di Einstein
 - La velocità della luce ha lo stesso valore in tutti i sistemi di riferimento
 - Un segnale luminoso emesso dall'origine si propaga come un'onda sferica
 - ullet Al tempo t il fronte dell'onda ha un raggio dato da

$$R^2 = x^2 + y^2 + z^2 = c^2 t^2$$

ullet Nel sistema S' il fronte sarà ancora sferico

$$R'^2 = x'^2 + y'^2 + z'^2 = c^2 t'^2$$

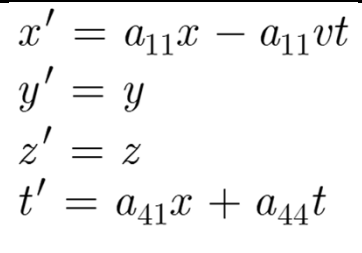
• Sostituiamo in questa equazione le coordinate trasformate

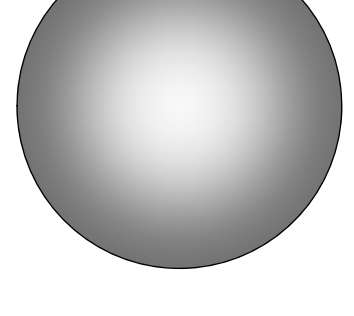
$$(a_{11}x - a_{11}vt)^{2} + y^{2} + z^{2} = c^{2}(a_{41}x + a_{44}t)^{2}$$

$$\underbrace{(a_{11}^{2}x^{2})}_{} + \underbrace{(a_{11}^{2}v^{2}t^{2})}_{} - \underbrace{(2a_{11}^{2}xvt)}_{} + y^{2} + z^{2} = \underbrace{(c^{2}a_{41}^{2}x^{2})}_{} + \underbrace{(c^{2}a_{44}^{2}t^{2})}_{} + \underbrace{(2c^{2}a_{41}a_{44}xt)}_{}$$

• Raccogliamo i coefficienti

$$\left(a_{11}^2 - c^2 a_{41}^2\right) x^2 + y^2 + z^2 = \left(c^2 a_{44}^2 - a_{11}^2 v^2\right) t^2 + 2\left(c^2 a_{41} a_{44} + a_{11}^2 v\right) x t$$





$$(a_{11}^2 - c^2 a_{41}^2) x^2 + y^2 + z^2 = (c^2 a_{44}^2 - a_{11}^2 v^2) t^2 + 2(c^2 a_{41} a_{44} + a_{11}^2 v) xt$$

Questa equazione deve essere identica a

$$R^2 = x^2 + y^2 + z^2 = c^2 t^2$$

- Per il principio di identità dei polinomi
 - E un sistema di 3 equazioni e 3 incognite
 - Si può verificare che la soluzione è

$$a_{11} = \frac{1}{\sqrt{1 - v^2 / c^2}}$$

$$a_{44} = \frac{1}{\sqrt{1 - v^2 / c^2}}$$

$$a_{11} = \frac{1}{\sqrt{1 - v^2/c^2}}$$
 $a_{44} = \frac{1}{\sqrt{1 - v^2/c^2}}$ $a_{41} = -\frac{v}{c^2} \frac{1}{\sqrt{1 - v^2/c^2}}$

 $\begin{cases} a_{11}^2 - c^2 a_{41}^2 = 1 \\ c^2 a_{44}^2 - a_{11}^2 v^2 = c^2 \\ c^2 a_{41} a_{44} + a_{11}^2 v = 0 \end{cases}$

• In conclusione la legge di trasformazione (Trasformazione di Lorentz) è

$$x'=\frac{x-vt}{\sqrt{1-v^2/c^2}}$$

$$y'=y$$

$$z'=z$$

$$t'=\frac{t-vx/c^2}{\sqrt{1-v^2/c^2}}$$
 • Osservazione lascia invariata la quantità
$$c^2t^2-x^2-y^2-z^2=c^2t'^2-x'^2-y'^2-z'^2$$

$$c^{2}t^{2} - x^{2} - y^{2} - z^{2} = c^{2}t'^{2} - x'^{2} - y'^{2} - z'^{2}$$

• Se si invertono le equazioni

$$x' = \frac{x - vt}{\sqrt{1 - v^2 / c^2}}$$

$$y' = y$$

$$z' = z$$

$$t' = \frac{t - vx / c^2}{\sqrt{1 - v^2 / c^2}}$$

$$t = \frac{t' + vx' / c^2}{\sqrt{1 - v^2 / c^2}}$$

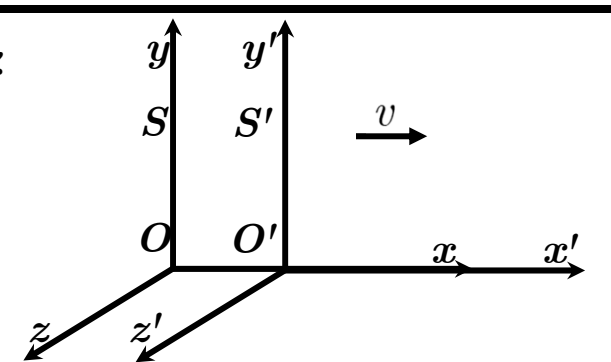
$$t = \frac{t' + vx' / c^2}{\sqrt{1 - v^2 / c^2}}$$

- Come ci saremmo potuti aspettare con ragionamenti fisici, sulla base del primo postulato le equazioni devono essere formalmente identiche
 - ullet L'unica differenza possibile è il cambiamento v
 ightarrow -v
- Un'altra osservazione è che per velocità piccole rispetto alla velocità della luce

$$\frac{v}{c} pprox 0$$
 $\sqrt{1 - v^2/c^2} \approx 1$ $x' \approx x - vt$ $t' \approx t$

• Per velocità piccole rispetto alla velocità della luce ritroviamo le trasformazioni di Galileo

- Ricordiamo la forma delle trasformazioni di Lorentz
- ullet Consideriamo due sistemi S e S', di origine O e O'
 - Gli assi x e x' coincidono
 - ullet Gli assi y e y' e gli assi z e z' rimangono sempre paralleli
 - ullet Il sistema S' si muove rispetto al sistema S con velocità v costante nella direzione x



- ullet Un punto nello spazio-tempo è individuato dalle 4 coordinate $x^\mu=(ct,x,y,z)$
 - ullet Rispettivamente in S x^{μ} e in S' x'^{μ}
 - La legge di trasformazione e la sua inversa sono

$$x' = \frac{x - vt}{\sqrt{1 - v^2 / c^2}} \qquad y' = y \qquad x = \frac{x' + vt'}{\sqrt{1 - v^2 / c^2}} \qquad y = y'$$

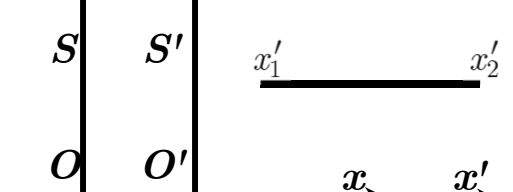
$$ct' = \frac{ct - vx / c}{\sqrt{1 - v^2 / c^2}} \qquad z' = z \qquad ct = \frac{ct' + vx' / c}{\sqrt{1 - v^2 / c^2}} \qquad z = z'$$

• Osservazione: La trasformazione lascia invariata la quantità

$$c^{2}t^{2} - x^{2} - y^{2} - z^{2} = c^{2}t'^{2} - x'^{2} - y'^{2} - z'^{2}$$

Contrazione di Lorentz

- ullet Veniamo alle conseguenze delle trasformazioni di Lorentz $ec{y}$
- ullet Consideriamo un sistema S' in moto con velocità v rispetto al sistema S



- ullet Consideriamo una barra di lunghezza $L_{
 m o}$ a riposo nel sistema S'
 - ullet La barra ovviamente si muove con velocità v rispetto a S
 - ullet Supponiamo che in S' gli estremi siano $x_1'=0$ $x_2'=L_0$
- ullet Vediamo dove sono gli estremi della barra nel sistema S ad uno stesso tempo tper le due estremità (per semplicità t=0)

$$x_1' = \gamma(x_1 - vt_1)$$
 $0 = \gamma x_1$ $x_1 = 0$
 $x_2' = \gamma(x_2 - vt_2)$ $L_0 = \gamma x_2$ $x_2 = \frac{L_0}{\gamma}$

$$\bullet$$
 La trasformazione di Lorentz è
$$x_1'=\gamma(x_1-vt_1) \qquad 0=\gamma x_1 \qquad x_1=0 \qquad x_1'=\frac{x-vt}{\sqrt{1-v^2\ /\ c^2}}=\gamma(x-vt)$$

ullet Pertanto la lunghezza della barra in S è $\stackrel{\gamma}{L}=x_2-x_1$ $L=rac{L_o}{}$ $t_2=t_1$

$$L = \frac{L_0}{\gamma} = L_o \sqrt{1 - v^2 / c^2}$$

Contrazione di Lorentz

- Nel sistema S la barra è più corta !!
 - NB: abbiamo scelto $t_1=t_2=0$ per semplicità
 - ullet Avremmo trovato lo stesso risultato per qualsiasi $t_1=t_2$

 $|L_{
m o}$: lunghezza propria

Dilatazione del tempo

- ullet Consideriamo un sistema S' in moto con velocità v rispetto al sistema S
 - Consideriamo un orologio a riposo nel sistema S' e posto in x'_1





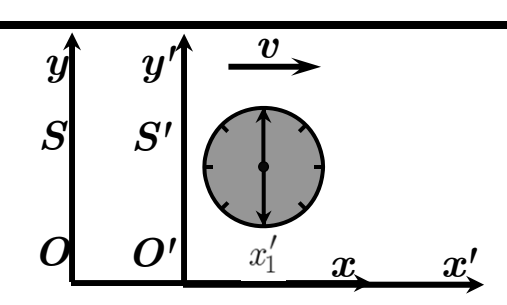


$$t_1 = \frac{t_1' + vx_1' / c^2}{\sqrt{1 - v^2 / c^2}}$$
 $t_2 = \frac{t_2' + vx_1' / c^2}{\sqrt{1 - v^2 / c^2}}$

ullet L'intervallo di tempo Δt misurato in S è pertanto

$$\Delta t = t_2 - t_1 = \frac{t_2' - t_1' + v(x_1' - x_1')/c^2}{\sqrt{1 - v^2/c^2}} = \frac{t_2' - t_1'}{\sqrt{1 - v^2/c^2}}$$

- Nel sistema S l'intervallo di tempo è più lungo
 - ullet Visto in S l'orologio "batte il tempo più lentamente" !
 - ullet Visto da S ogni fenomeno di S' dura più a lungo
 - Ad esempio la vita media di una particella instabile
 - ullet NB: nel sistema S t_1 e t_2 sono misurati in posizioni differenti

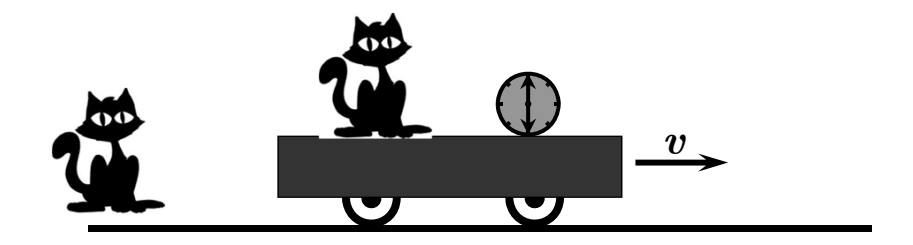


$$t = \frac{t' + vx'/c^2}{\sqrt{1 - v^2/c^2}}$$

$$\Delta t = \frac{\Delta t'}{\sqrt{1 - v^2 / c^2}}$$

Dilatazione del tempo

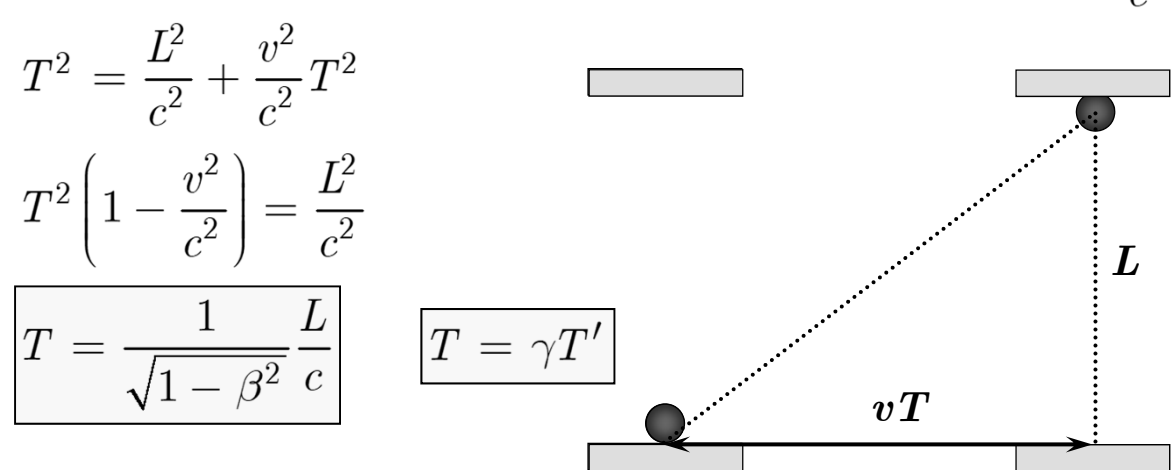
- Per capire meglio il significato della dilatazione del tempo confrontiamo le letture di un orologio
 - Letture fatte da un osservatore fermo rispetto all'orologio
 - Letture fatte da un osservatore che vede l'orologio in movimento



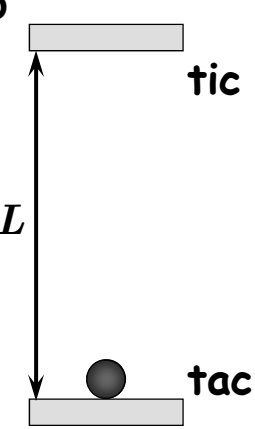
- ullet Nella diapositiva precedente abbiamo utilizzato la trasformazione di Lorentz per concludere che l'osservatore S vede scorrere il tempo più velocemente di quanto vede S'
- Per comprendere meglio questo sorprendente fenomeno costruiamo un orologio e esaminiamone il funzionamento nei due casi

Dilatazione del tempo

- L'orologio consiste di una sorgente di impulsi luminosi e di uno specchio
 - L'impulso luminoso è emesso in basso
 - Viaggia fino allo specchio dove è riflesso
 - Quando ritorna nella parte in basso fa partire un altro impulso
- Il periodo dell'orologio è 2T'
- ullet L'osservatore S vede l'orologio in movimento
 - ullet In un semiperiodo l'orologio si sposta di vT
 - Il semiperiodo è adesso dato dall'equazione $T=\frac{\sqrt{L^2+v^2T^2}}{2}$



- Il tempo di S scorre più velocemente
 - Osserviamo che la velocità della luce è la stessa nei due casi

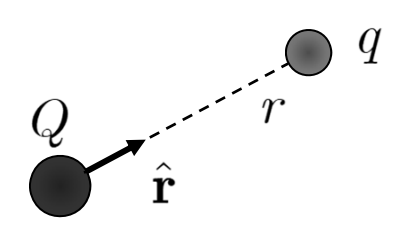


|T' = L/c|

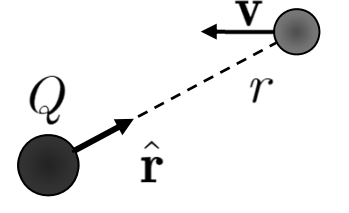
Invarianza relativistica della carica

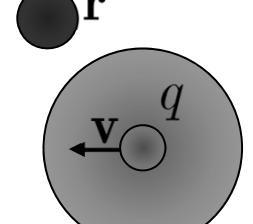
- Iniziamo una serie di ragionamenti e di studi che ci porteranno a comprendere come la forza magnetica sia un fenomeno intimamente connesso con la forza elettrica e con la relatività ristretta
 - Iniziamo con la misura della carica elettrica quando la particella carica è in movimento
 - ullet Possiamo misurare una carica q utilizzando una carica nota Q e la legge di Coulomb

$$\mathbf{F} = q \frac{Q}{4\pi\varepsilon_0 r^2} \hat{\mathbf{r}}$$



- Questa procedura va benissimo quando le cariche sono a riposo
- Se le cariche sono in movimento la forza può dipendere da altri fattori
 - Può dipendere dal modulo della velocità e dalla sua direzione
- Esaminiamo due casi la carica misurata potrebbe essere diversa
- E un fatto sperimentale di fondamentale importanza che la legge di Gauss vale anche per le cariche in movimento
- Significa che sebbene il valore del campo E in ogni punto della superficie può essere differente rispetto al suo valore quando ${f v}=0$ tuttavia il flusso totale attraverso S_t è invariato



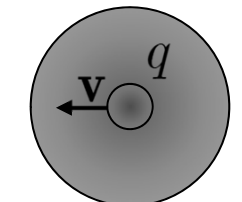


$$\oint_{S} \mathbf{E} \cdot d\mathbf{a} = rac{q}{arepsilon_0}$$
variáto

Invarianza relativistica della carica

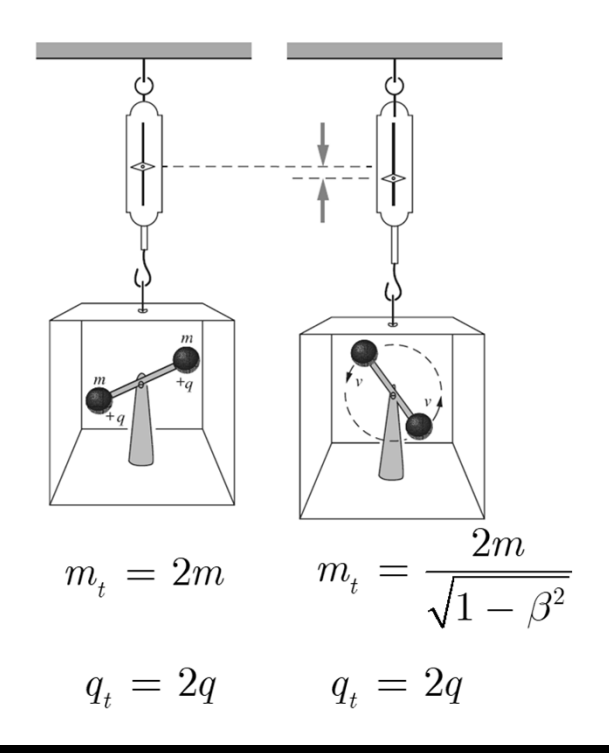
ullet Il significato di S_t (dipendente dal tempo) $\dot{\mathbf{e}}$ il sequente

 $\oint_{S_t} \mathbf{E} \cdot d\mathbf{a} = \frac{q}{\varepsilon_0}$



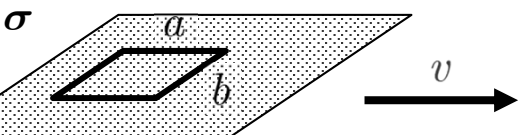
- ullet Il campo elettrico generato da q è misurato in tutti i punti della superficie allo stesso tempo t
- Un altro fatto di fondamentale importanza è che il valore della carica elettrica all'interno della superficie non dipende dalla velocità con cui si muove la carica
 - Una situazione completamente differente da quanto succede per la massa
 - La massa dipende dalla velocità con cui essa si muove
 - La carica è sempre la stessa
- Si pensi ad esempio ad un conduttore
 - La carica totale (ioni + elettroni) è nulla
 - Se si scalda il conduttore la velocità delle particelle aumenta
 - Aumenta di più per gli elettroni che per gli ioni
 - Se la carica dipendesse dalla velocità il conduttore non sarebbe più neutro

La carica elettrica è un invariante relativistico



Densità di carica

- ullet Consideriamo un piano di carica con densità superficiale σ
- ullet Consideriamo un rettangolo di lati a e b: S=ab
 - ullet La carica all'interno del rettangolo è $q=\sigma S$



- ullet Supponiamo adesso che il piano si muova con una velocità v parallela al lato a del rettangolo
 - Il lato a subisce una contrazione di Lorentz

$$a \to \frac{a}{\gamma}$$

• La superficie del rettangolo subisce la stessa contrazione

$$S = ab \rightarrow S' = \frac{ab}{\gamma} = \frac{S}{\gamma}$$

• La carica dentro il rettangolo in moto è

$$q'=\sigma'S'=\sigma'\frac{S}{\gamma} \qquad \text{ma la carica è un invariante} \qquad q=q' \qquad \sigma S=\sigma'\frac{S}{\gamma}$$

$$\sigma=\frac{\sigma'}{\gamma} \qquad \sigma'=\gamma\sigma$$

- ullet Vista nel sistema S la densità di carica del piano in movimento \dot{ullet} aumentata
 - Valgono le stesse relazioni per le densità di volume e le densità lineari